

ارزیابی تأثیرات تعیینی و احتمالاتی نامعینی در مفاهیم محاسباتی ضریب رفتار قاب‌های خمی بتن مسلح با مقاومت نهایی یکسان

رامین محمدی (کارشناس ارشد)

علی معصومی^{*} (دانشیار)

افشین مشکوه‌الدینی (استادیار)

دانشکده فنی و مهندسی، دانشگاه خوازی

بیشتر پژوهشگران در ارزیابی رفتار سازه‌ها، مقاومت افزون از حد تسلیم اولین عضو تا تسلیم کلی سازه را ناشی از نامعینی دانسته‌اند و در برخی پژوهش‌ها این بخش از مقاومت افزون به عنوان ضریب نامعینی معروفی شده است. از طرفی برخی دیگر از پژوهشگران، ضریبی را به عنوان ضریب نامعینی به طور مستقل از مقاومت افزون در فرمول‌بندی ضریب رفتار لحظه کرده‌اند، که مبتقی بر تعداد قاب‌های لرزه‌بر و تئوری قابلیت اعتماد سازه هاست. هدف از این پژوهش، پاسخ به این پرسش است که آیا افزایش نامعینی به واسطه تأثیری که در افزایش مقاومت افزون دارد، پذیده‌بی مطلوب به حساب می‌آید یا اینکه به صرف افزایش تعداد قاب‌های لرزه‌بر و افزایش قابلیت اعتماد سیستم، سازه رفتار مطلوب‌تری خواهد داشت. نتایج حاصل از این پژوهش نشان می‌دهد که افزایش نامعینی در صورتی که مقاومت افزون بیشتری در سازه ایجاد نکند، همواره نمی‌تواند موجب بهبود رفتار سازه‌های قاب خمی شود.

ramin_mohammadi@live.com
massumi@khu.ac.ir
meshkat@khu.ac.ir

وازگان کلیدی: نامعینی، مقاومت افزون، شاخص مقاومت افزون تعیینی، شاخص مقاومت افزون احتمالاتی، شکل‌پذیری، ضریب رفتار.

۱. مقدمه

در سیستم سازه‌بی تشکیل شود تا سازه تحت تحریک زلزله فرو ریزد، نیز به عنوان درجه‌ی نامعینی لرزه‌بی مطرح شده است.^[۱] در کنار تعاریف ذکر شده برخی دیگر از پژوهشگران براساس تعداد قاب‌های لرزه‌بر در هر جهت، تعریف‌هایی را برای درجه‌ی نامعینی ارائه کرده‌اند. در پژوهشی در سال ۱۹۸۷، ضریب کاهش مقاومت میانگین متناسب با عکس جذر تعداد شرط‌های مقاومتی مستقل برای قاب‌های نامعین مقاوم پیشنهاد شده است.^[۵] در ۱۹۸۷ ATC-۲۴ و ATC-۱۹ نیز به منظور کمی کردن قابلیت اعتماد سیستم‌های قاب لرزه‌بی، ضرایبی به عنوان ضریب نامعینی اعمال شده است. در گزارش‌های مذکور، برای سازه‌هایی که به ترتیب ۲، ۳ و ۴ ردیف قاب قائم مقاوم در برابر نیروهای جانبی در هر یک از جهت‌های اصلی سازه دارند، مقدار پیشنهاد شده برای ضریب نامعینی به ترتیب ۱، ۰، ۸۶۶، ۰، ۷۱ و ۰ است.^[۶] آینین‌نامه‌ی UBC و مقررات NEHRP نیز از سال ۱۹۹۷ به بعد یک ضریب بنامad، با عنوان ضریب قابلیت اعتماد/نامعینی معرفی کرده‌اند، که در نیروی جانبی زلزله برای طراحی ضرب می‌شود.^[۷] در آینین‌نامه‌ی بین‌المللی IBC از سال ۱۹۹۸ به بعد نیز چنین ضریبی ارائه شده است.^[۸] این ضریب نامعینی بر مبنای پیکربندی و اجزاء تشکیل‌دهنده‌ی سیستم‌های سازه‌بی نامعین استوار است و به پارامترهای ذاتی سازه همچون شکل‌پذیری و مقاومت افزون بستگی ندارند.^[۹] در غالب تعاریف

نامعینی سیستم‌های سازه‌بی مفهومی است که از دیرباز توجه پژوهشگران را به خود جلب کرده است. پس از مشاهده‌ی تخریب تعداد زیادی از سازه‌های با درجه‌ی نامعینی کم مانند پارکینگ‌ها در زلزله‌های نورتریج (۱۹۹۴) و کوبه (۱۹۹۵)، موضوع نامعینی سیستم‌های سازه‌بی به شکل جدی‌تری مطرح شده است. تاکنون تعریف‌ها و تفسیرهای متعددی از نامعینی سازه‌بی و ضریب نامعینی در دو حوزه‌ی کمی و کیفی ارائه شده است، که از جمله‌ی آن‌ها می‌توان به این موارد اشاره کرد: (الف) مسیرهای جایگزین جهت انتقال پار عضوهای آسیب‌دیده به منظور جلوگیری از تخریب آنی سازه و تحقق خرابی پیش‌رونده، که می‌تواند از عضوهای فرعی به عضوهای اصلی و یا از عضوهای اصلی به پی سازه باشد.^{[۱] ب} نامعینی سازه‌ها، قابلیت سیستم‌های سازه‌بی برای بازتوزیع نیروها و لنگرهای از عضوها و اتصال‌های آسیب‌دیده به سایر عضوهای اتصال‌های است.^{[۱] ج} نسبت احتمال تسلیم اولین عضو سیستم منهای احتمال شکست کلی سیستم، بر احتمال شکست کلی سیستم نیز به عنوان ضریب نامعینی مطرح شده است.^{[۱] د} کمینه‌ی تعداد لولای خمیری که باید

* نویسنده مسئول
تاریخ: دریافت ۲۷/۰۷/۱۳۹۲، اصلاحیه ۱۰/۳/۱۳۹۳، پذیرش ۱۴/۴/۱۳۹۳.

کنند و در زلزله‌های محتمل برای منطقه‌یی که در آن احداث می‌شوند، پایداری کلی خود را حفظ کنند. اثر ویژگی‌های یادشده بر استهلاک انرژی ورودی زلزله در ضربت رفتار مشاهده شده و کاهش نیروهای ارجاعی به نیروهای طراحی توسط این ضربت صورت پذیرفته است. از اوایل دهه ۱۹۹۰، پژوهشگران برای معنادارکردن و افزایش دقت و اطمینان به ضربت رفتار در صدد تجزیه‌یی این ضربت به عوامل تشکیل دهنده آن برآمدند. عواملی که غالب پژوهشگران بر آن اتفاق نظر داشته و به نحوی در آین نامه‌های لرزه‌یی نیز وارد شده است، عبارت‌اند از: شکل پذیری، مقاومت افزون، نامعینی، و میرایی سازه. به دنبال این پژوهش‌ها رابطه‌یی ساختاری به صورت رابطه‌ی ۱ برای محاسبه‌ی ضربت رفتار پیشنهاد شده است:^[۱۴، ۱۵]

$$R_w = R_s R_\mu R_R R_\xi = \left[\left(\frac{c_y}{c_s} \times \frac{c_{eu}}{c_w} \right) \times \frac{c_{eu}}{c_y} \times 1 \times 1 \right] \quad (1)$$

که در آن، R_w ضربت رفتار با رویکرد تنش مجاز، R_s ضربت کاهش در اثر مقاومت افزون، R_μ ضربت کاهش در اثر شکل پذیری، R_R ضربت کاهش در اثر نامعینی سازه، و R_ξ ضربت کاهش در اثر میرایی است که مقدار آن با فرض میرایی ۵٪ واحد در نظر گرفته شده است.^[۱۶] در مورد نماد R_R لازم به توضیح است که در برخی از پژوهش‌ها،^[۱۷] به ضربت نامعینی مستتر در مقاومت افزون اطلاق شده است، که در این فرمول بندی مدنظر نیست.

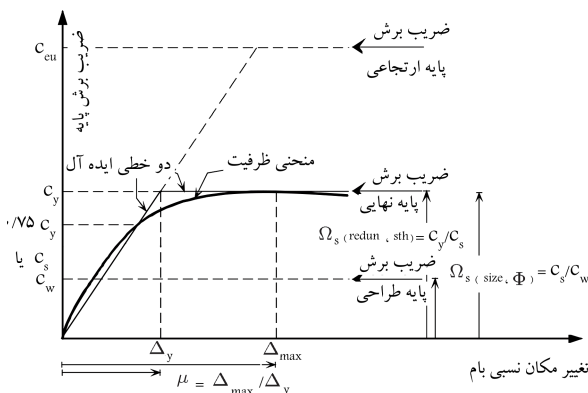
۱.۲. ضربت کاهش در اثر مقاومت افزون R_s

مطالعات نشان می‌دهد که مقاومت افزونی که در یک سازه با سیستم قاب خمشی به وجود می‌آید، مطابق شکل ۱، از دو بخش تشکیل شده است:^[۱۸]

بخش اول: مقاومت افزون از حد مردمیاز طراحی ($c_{(w)}$) تا تسليم اولین عضو در سیستم (c_s). این بخش از مقاومت افزون ناشی از بزرگ‌ترین ابعاد مقاطع از اندازه‌ی بهینه‌ی طراحی، تیپ‌بندی ابعاد مقاطع، و تقاؤن در مقاومت اسمی و مقاومت واقعی مصالح است. چنین مقاومتی را می‌توان از رابطه‌ی ۲ محاسبه کرد:^[۱۹]

$$\Omega_{s(size,\phi)} = \frac{c_s}{c_w} \quad (2)$$

بخش دوم: مقاومت افزون نیز از حد تسليم اولین عضو در سیستم (c_s) تا شکست کلی سیستم ($c_{(y)}$) را شامل می‌شود. با شروع تسليم اعضاء سازه، با توزیع نیروهای داخلی بر اثر نامعینی سازه بروز می‌کند و در روند تشکیل مکانیزم خرابی تأثیر می‌گذارد. از این رو مقاومت افزونی که سازه بعد از تسليم اولین عضو در سیستم تا



شکل ۱. منحنی ظرفیت و اجزاء تشکیل دهنده مقاومت افزون.

کیفی ارائه شده برای نامعینی، سایه‌ی عدم قطعیت در نیاز و تقاضای سازه‌ها مشهود است، که این امر سبب غیرقابل استناد بودن این تعریف‌ها در آین نامه‌ها و طرح لرزه‌یی سازه‌ها شده است. از این رو پژوهشگران زیادی به بررسی آثار نامعینی با رویکردهای تعیینی و احتمالاتی پرداخته‌اند. یکی از مهم‌ترین پژوهش‌های انجام‌شده بر روی نامعینی سازه‌ها در سال ۱۹۹۹ صورت پذیرفته است، که در آن از مفهوم درجه‌ی نامعینی لرزه‌یی استفاده شده است. درجه‌ی نامعینی که در این پژوهش استفاده شده است، به عنوان تعداد نواحی بحرانی یا لولای خمیری در سیستم سازه‌یی تعریف می‌شود، که مقدار قابل توجهی از انرژی هیستوتیک خمیری را قبل از شکست سازه مستهلک می‌کنند. نتیجه‌ی اساسی در پژوهش یادشده آن است که تکیک‌کردن نامعینی از عوامل دیگر همچون مقاومت افزون دشوار است.^[۲۰] برخی پژوهشگران نیز در سال ۲۰۰۳ طی پژوهش جامعی به بررسی قابلیت اعتماد/نامعینی سازه‌یی تحت رکوردهای زلزله‌یی مجموعه‌ی SAC پرداخته‌اند و بر این عقیده بوده‌اند که چنانچه تعداد عضوهای بیشتری برای مقاومت در برابر بار جانبه به کار برد شوند، احتمال شکست سازه در یک زمان کمتر از حالتی است که تعداد عضوهای کمتر با مقاومت یکسان به کار برد شوند.^[۲۱] همچنین پژوهشگران دیگری در سال ۲۰۰۴ بر روی محاسبه‌ی نامعینی سازه‌یی در قاب‌های خمشی بن مسلح پژوهش‌هایی را انجام دادند که در آن پارامترهای مؤثر در ضربت نامعینی و رابطه‌ی آن را با ضربت شکل پذیری دورانی عضو^[۲۲]، تعداد و ارتفاع طبقه‌ها، تعداد و طول دهانه‌ها مطالعه کرده و در نهایت به بررسی تأثیر درجه‌ی نامعینی در ضربت رفتار با استفاده از تحلیل استاتیکی غیرخطی پرداخته‌اند.^[۲۳] پژوهشی نیز در سال ۲۰۱۰، بر روی تغییرات نامعینی تحت بارهای متغیر در زمان پژوهشی انجام و با بررسی عددی تعدادی سازه از نظر قابلیت اعتماد و نامعینی متغیر در زمان، به اثرهای بازگذاری در طول زمان بر قابلیت اعتماد سازه‌ها و نامعینی آن‌ها پرداخته شده است.^[۲۴] در مطالعه‌ی دیگری هم در سال ۲۰۱۱ به بررسی اثرات نامعینی قوی در هنگام زوال پرداخته شده است.^[۲۵]

با مطالعه‌ی پژوهش‌های پیشین می‌توان دریافت که بیشتر پژوهشگران اضافه مقاومت از حد تسليم اولین عضو تا تسليم و شکست کلی سیستم را ناشی از نامعینی سازه‌ها دانسته‌اند و در برخی پژوهش‌ها، این بخش از مقاومت افزون به عنوان ضربت نامعینی معرفی شده است. از طرفی در برخی پژوهش‌ها، ضربت نامعینی به عنوان ضربت نامعینی به طور مستقل از مقاومت افزون در فرمول بندی ضربت رفتار لحظه‌ی شده است که مبتنی بر تعداد قاب‌های لرزه‌بر و تئوری قابلیت اعتماد سازه‌هاست. از این رو همواره این پرسش مطرح بوده است که آیا افزایش نامعینی به واسطه‌ی تأثیری که در افزایش مقاومت افزون دارد، پدیده‌ی مطلوب محسوب می‌شود یا اینکه به صرف افزایش تعداد قاب‌های لرزه‌بر و افزایش قابلیت اعتماد سیستم، سازه رفتار مطلوب‌تری خواهد داشت؟ در این پژوهش با درنظر گرفتن عامل مقاومت به عنوان یک متغیر تصادفی به بررسی اثرات تعیینی و احتمالاتی نامعینی سازه‌ها در مقاومت افزون و در نهایت ضربت رفتار قاب‌های لرزه‌بر و تئوری قابلیت اعتماد سازه‌ها و مساحت طبقه‌ی یکسان دارند، پرداخته شده است.

۲. مؤلفه‌های ضربت رفتار

سازه‌ها به لحظه ویژگی‌هایی مانند شکل پذیری، میرایی، مقاومت افزون، و نامعینی می‌توانند انرژی ورودی زلزله را با تغییرشکل‌های غیرارتجاعی و با توزیع نیروها تحمل

شده است. شاخص مقاومت افزون تعیینی (Ω_{det}), توانایی یک سیستم سازه‌یی را در بازتوzیع بارها در هنگام شکست در نظر می‌گیرد و نیروها و لنگرهای اعضاء جاری شده را به سمت اعضاء با مقاومت بالاتر بازتوzیع می‌کند. این شاخص تابعی از نامعینی استاتیکی، شکل‌بندیری عضو، سخت‌شوندگی کرنش، و میانگین مقاومت اعضاء سیستم سازه‌یی است. دومین شاخص که طبیعت احتمالاتی دارد، شاخص مقاومت افزون احتمالاتی (Ω_{pro}) است. این شاخص تأثیر متغیرهای احتمالاتی مقاومت اعضاء را در مقاومت سیستم سازه‌یی محاسبه می‌کند. این شاخص همچنین تابعی از نامعینی استاتیکی سیستم سازه‌یی و همبستگی مقاومت اعضاء سازه است.

۳.۱. شاخص مقاومت افزون تعیینی

تأثیرات کلی نامعینی در مقاومت یک سیستم سازه‌یی قابی‌شکل را می‌توان از طریق نسبت رابطه‌ی η بیان کرد:

$$\frac{c_{red}}{c_{non,red}} \quad (9)$$

در جایی که c_{red} ضریب برش پایه‌ی نهایی سازه‌ی نامعین و $c_{non,red}$ ضریب برش پایه‌ی سیستم سازه‌یی مشابه اما بدون نامعینی است، یک سیستم سازه‌یی با اعضاء شکننده باید به طور قابل قبولی برای یک سیستم سازه‌یی بدون نامعینی استفاده شود. در چنین سیستم معینی، در حالی که مقاومت ذخیره‌شده‌ی اعضاء گسیخته‌نشده مورد استفاده قرار نگرفته‌اند، اولین جاری شدن منجر به شکست کلی سیستم خواهد شد. بنابراین با فرض رفتار شکننده‌ی اعضاء سازه، نقطه اولین جاری شدن عضوی از سیستم سازه می‌تواند به عنوان یک تقریب قابل قبولی از ضریب برش پایه‌ی سازه بدون نامعینی در نظر گرفته شود. بنابراین $c_{non,red}$ در رابطه‌ی η می‌تواند بواسطه c_s میانگین ضریب برش پایه‌ی اولین جاری شدن عضوی در سیستم به عنوان شاخص مقاومت افزون تعیینی تعریف می‌شود (رابطه‌ی ۱۰):

$$\Omega_{det} = \frac{\bar{c}_{red}}{\bar{c}_{non,red}} = \frac{\bar{c}_y}{\bar{c}_s} \quad (10)$$

با فرض درنظر گرفتن ضرایب برش پایه به عنوان متغیرهای تصادفی، جهت محاسبه‌ی شاخص مقاومت افزون تعیینی، از میانگین ضرایب برش پایه، یعنی میانگین ضریب برش پایه نهایی (\bar{c}_y) و میانگین ضریب برش پایه در شروع اولین تسليیم سیستم (\bar{c}_s) استفاده شده است. در این نوشته مقدار این دو پارامتر از منحنی غیرخطی ضریب برش پایه - تغییرمکان نسبی (شکل ۲) به دست آمده است. بنابراین Ω_{det} به عنوان مقدار تعیینی افزایش مقاومت یک قاب ناشی از فرم سازه‌یی و نامعینی در نظر گرفته شده است. یک سازه بدون نامعینی با $\Omega_{det} = 1$ بیان می‌شود و سازه‌های نامعین مقادیر بزرگ‌تر از واحد را اختیار می‌کنند.

۳.۲. شاخص مقاومت افزون احتمالاتی

فرمول‌بندی شاخص مقاومت افزون احتمالاتی یک قاب با یک مکانیزم شکست خاص در نظر گرفته شده است. انتخاب مکانیزم شکست حساس است، چون می‌تواند موجب تخمین نا صحیح از مقدار Ω_{pro} شود. برای سادگی در نتیجه‌گیری مکانیزم خرابی پاندولی^۳، شکل ۳ در نظر گرفته شده است. این نوع مکانیزم

مرحله‌ی شکست کلی (ناپایداری) از خود بروز می‌دهد، به صورت رابطه‌ی ۳ محاسبه می‌شود:

$$\Omega_{s(red,sth)} = \frac{c_y}{c_s} \quad (3)$$

به دنبال مشخص شدن دو مؤلفه‌ی ضریب مقاومت افزون، مقدار کلی این ضریب به صورت رابطه‌ی ۴ به دست می‌آید:

$$R_s = \Omega_{s(size,\phi)} \cdot \Omega_{s(red,sth)} = \frac{c_y}{c_s} \cdot \frac{c_s}{c_w} \quad (4)$$

اصلی‌ترین عامل به وجود آورزندی مقاومت افزون در رابطه‌ی ۳، نامعینی سازه است، به طوری که در برخی پژوهش‌ها این بخش از مقاومت افزون را ضریب نامعینی نامیده‌اند.^[۱۵] در پژوهش‌های یادشده این بخش از مقاومت افزون در دو مقوله‌ی اثرات تعیینی نامعینی و اثرات احتمالاتی نامعینی در سیستم‌های قاب خمشی دو بعدی مورد ارزیابی قرار گرفته‌اند. در این نوشته آثار تعیینی و احتمالاتی نامعینی در سیستم‌های قاب خمشی سه بعدی، که مقاومت و ضریب برش پایه‌ی نهایی یکسان دارند، در قالب مقاومت افزون مورد ارزیابی قرار گرفته‌اند.

۴.۲. ضریب کاهش در اثر شکل‌بندیری

با ایده‌آل کردن منحنی ظرفیت به یک منحنی ارجاعی - خمیری کامل مطابق شکل ۱، شکل‌بندیری کلی را می‌توان به صورت رابطه‌ی ۵ بیان کرد:

$$\mu = \frac{\Delta_{max}}{\Delta_y} \quad (5)$$

در اثر شکل‌بندیری، سازه ظرفیتی برای مستهلاک کردن ازرسی خواهد داشت. به دلیل این ظرفیت استهلاک ازرسی، نیروی طراحی ارجاعی را می‌توان به تراز مقاومت شکست (تسليیم) کلی سیستم کاهش داد (رابطه‌ی ۶):

$$R_\mu = \frac{c_{eu}}{c_y} \quad (6)$$

پژوهش‌های زیادی در زمینه‌ی ابداع و برقراری یک رابطه‌ی تحلیلی میان μ و R_μ ^[۱۷] صورت پذیرفته است، که در این نوشته از نتایج پژوهش‌های میراندا و برتو،^[۱۸] استفاده شده است. پژوهش مذکور در سال ۱۹۹۴، با مرور رابطه‌های ارائه شده سایر پژوهشگران، رابطه‌های T ، μ و R_μ را برای زمین‌های صخره‌ای، رسوبی و خاک نرم با استفاده از ۱۲۴ شتاب‌نگاشت حرکت زمین توسعه داده‌اند. رابطه‌ی ارائه شده آن‌ها برای ضریب کاهش در اثر شکل‌بندیری به صورت رابطه‌ی ۷ است:

$$R_\mu(T, \mu) = \frac{\mu - 1}{\phi} + 1 \quad (7)$$

که در آن، ϕ تابعی از شکل‌بندیری کلی (μ)، T زمان تناوب سیستم، و نیز شرایط خاک در محل (در این پژوهش خاک نوع II معادل خاک رسوبی) است، از رابطه‌ی ۸ به دست می‌آید:

$$\phi = 1 + \frac{1}{T(12 - \mu)} - \frac{2}{5} \exp[-2(\ln T - 0,2)] \quad (8)$$

۴.۳. شاخص‌های ارزیابی نامعینی

در این بخش جهت ارزیابی تعیینی و احتمالاتی مقاومت افزون ناشی از نامعینی، دو شاخص مقاومت افزون تعیینی^۱ و شاخص مقاومت افزون احتمالاتی^۲ معرفی

ن تشکیل می شود. به همین ترتیب انحراف استاندارد^۵ مقاومت قاب σ_f از طریق رابطه‌ی ۱۳ بدست می آید:

$$\sigma_f = \sqrt{\sum_{i=1}^n \sum_{j=1}^n \psi_i \psi_j \rho_{ij} \sigma_{Mi} \sigma_{Mj}} \quad (13)$$

که در آن، ρ_{ij} ضریب همبستگی^۶ بین مقاومت‌های M_i و M_j است. برای $j = 1, i = 1$ ، $\rho_{11} = 1$ خواهد شد. برای ساده‌گردن عبارت ۱۳ برای یک قاب چند طبقه‌ی چند دهانه، این فرض‌ها در نظر گرفته می شوند: [۱۵، ۱۶]

(الف) قاب ترکیبی از اعضا با مقاومت‌های با توزیع نرمال مساوی است (رابطه‌ی ۱۴):

$$\bar{M}_i = \bar{M}_j = \bar{M}_e \quad (14)$$

(ب) ضریب همبستگی بین مقاومت هر دو جفت از اعضاء قاب مشابه است (رابطه‌ی ۱۵):

$$\rho_{ij} = \rho_e \quad (15)$$

(ج) قاب‌ها با طول دهانه‌های مساوی و همچنین طبقه‌ها با ارتفاع مساوی هستند (رابطه‌ی ۱۶):

$$\psi_i = \psi_j = \psi \quad (16)$$

بنابراین رابطه‌های ۱۲ و ۱۳ به شکل ساده‌تر و به صورت روابط ۱۷ و ۱۸ در می‌آیند:

$$\bar{c} = n \cdot \psi \cdot \bar{M}_e \quad (17)$$

$$\sigma_f = \psi \cdot \sigma_e \sqrt{n + n(n-1)\rho_e} \quad (18)$$

با تقسیم انحراف استاندارد ضریب برش پایه‌ی قاب به میانگین ضریب برش پایه‌ی قاب، ضریب تغییرات^۷ ضریب برش پایه‌ی قاب به صورت رابطه‌ی ۱۹ بدست می‌آید:

$$v_f = \frac{\sigma_f}{\bar{c}} = \frac{\sigma_e}{\bar{M}_e} \cdot \sqrt{\frac{1 + (n-1)\rho_e}{n}} = v_e \sqrt{\frac{1 + (n-1)\rho_e}{n}} \quad (19)$$

که در آن، v_e ضریب تغییرات مقاومت عضو است. بنابراین شاخص مقاومت افزون احتمالاتی با استفاده از تعاریف و روابط فوق به صورت رابطه‌ی ۲۰ بدست می‌آید:

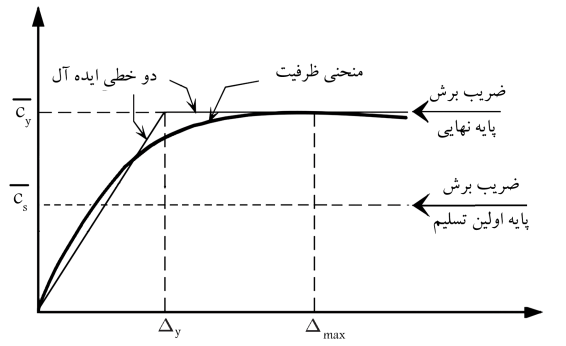
$$\Omega_{pro} = \frac{v_f}{v_e} = \sqrt{\frac{1 + (n-1)\rho_e}{n}} \quad (20)$$

در صورتی که ضریب همبستگی بین مقاومت اعضاء قاب برای یک سیستم موازی با هم برابر نباشدند، می‌توان ρ_e را با عبارت ضریب همبستگی میانگین مطابق رابطه‌ی ۲۱ جایگزین کرد: [۱۶]

$$\bar{\rho} = \frac{1}{n(n-1)} \sum_{i,j}^n \rho_{ij}, \quad i \neq j \quad (21)$$

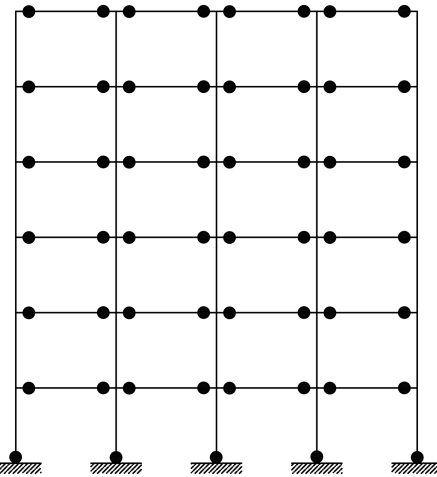
بنابراین با استفاده از رابطه‌ها و فرض‌های مطرح شده، شاخص مقاومت افزون احتمالاتی به صورت رابطه‌ی ۲۲ بدست می‌آید:

$$\Omega_{pro} = \sqrt{\frac{1 + (n-1)\bar{\rho}}{n}} \quad (22)$$



تغییر مکان نسبی بام

شکل ۲. چگونگی به دست آوردن میانگین ضریب برش پایه‌ی نهایی و میانگین ضریب برش پایه‌ی اولین تسلیم (y و \bar{c}_s).



شکل ۳. مکانیزم خرابی پاندولی از یک قاب مسطح.

براساس رعایت ضابطه‌ی تیر ضعیف و ستون قوی در برخی بارگذاری‌ها (بارگذاری یکنواخت) قابل تحقق است. رابطه‌ی بین مقاومت سیستم سازه‌ی و مقاومت اعضاء آن با استفاده از تحلیل خمیری سازه فرمول بندی شده است. [۱۶] ضریب برش پایه‌ی قاب برای این نوع مود شکست از طریق رابطه‌ی ۱۱ نشان داده شده است: [۱۵، ۱۶]

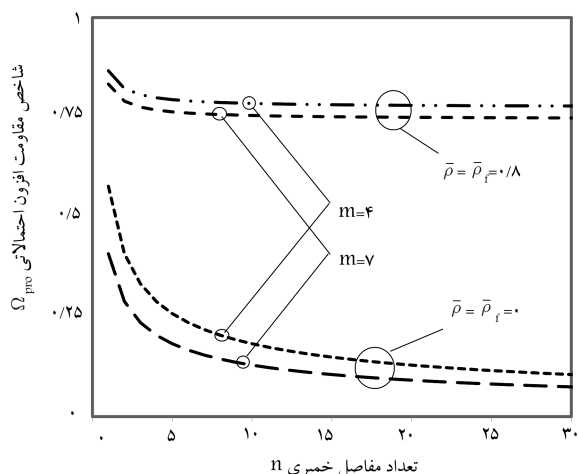
$$c = \sum_{i=1}^n \psi_i \cdot M_i \quad (11)$$

که در آن، C ضریب برش پایه‌ی قاب، n تعداد مفصل‌های خمیری مطابق مکانیزم شکست در نظر گرفته شده است، M_i ممان جاری شدن عضو سازه‌ی در موقعیتی که نامیم مفصل خمیری تشکیل شده و ψ_i ضریبی است با واحد رادیان بر طول \times جرم (Radian/Length.Mass) که تابعی از چرخش خمیری و هندسه سازه است. این فرم معادله‌ی مقاومت یک سیستم موازی است، که در آن مقاومت کل، مجموع یک سری مقاومت جزء است. [۱۶]

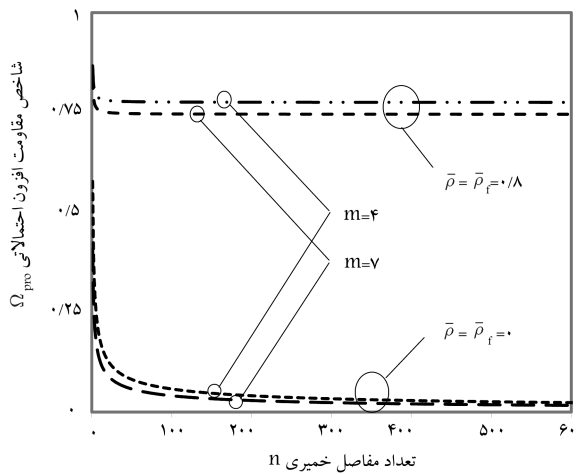
میانگین ضریب برش پایه (مقاومت برشی) قاب مطابق رابطه‌ی ۱۲ بدست می‌آید:

$$\bar{c} = \sum_{i=1}^n \psi_i \cdot \bar{M}_i \quad (12)$$

که در آن، \bar{M}_i میانگین مقدار مقاومت عضو سازه در جایی است که مفصل خمیری



شکل ۴. تغییرات Ω_{pro} در سازه‌های سه‌بعدی نسبت به تعداد مفاسل خمیری در حالت نهایی به ازاء ضریب‌های همبستگی ثابت در سازه‌های با درجهٔ نامعینی کم.



شکل ۵. تغییرات Ω_{pro} در سازه‌های سه‌بعدی نسبت به تعداد مفاسل خمیری در حالت نهایی به ازاء ضریب‌های همبستگی ثابت در سازه‌های با درجهٔ نامعینی زیاد.

با سیستم‌هایی که با تعداد مفاسل خمیری کمتری به حالت شکست می‌رسند (سازه‌های با درجهٔ نامعینی استاتیکی بسیار کم)، و بستگی بیشتری به میانگین ضریب همبستگی مقاومت اعضاء دارد. همچنین شکل‌های ۴ و ۵ میان این است که سازه‌ها با مقاومت اعضاء وابسته نمی‌توانند موجب افزایش مقاومت افزون ناشی از نامعینی شوند، در حالی که سازه‌های با مقاومت اعضاء ناویسته در اثر تأثیر احتمالاتی نامعینی موجب افزایش مقاومت افزون ناشی از نامعینی می‌شوند.

۳.۳. ضریب مقاومت افزون ناشی از نامعینی با رویکرد تعیینی و احتمالاتی

تأثیرات کلی نامعینی در مقاومت سازه می‌تواند به صورت نسبت ضریب برش پایه‌ی نهایی یک سیستم سازه‌یی نامعین به ضریب برش پایه‌ی سیستم مشابه، اما بدون نامعینی بیان شود. بنابراین ضریب مقاومت افزون ناشی از نامعینی Ω_{redu} به صورت

همان طورکه ملاحظه می‌شود، شاخص مقاومت افزون احتمالاتی Ω_{pro} تابعی از تعداد مفاسل‌های خمیری و میانگین ضریب همبستگی بین مقاومت اعضاء سازه است. دامنهٔ تغییرات Ω_{pro} مابین 0 و 1 است. برای یک سازه‌یی معین که فقط یک مفصل خمیری سبب شکست می‌شود ($n = 1$ ، مقدار $\Omega_{pro} = 1$ است و سازه بدون نامعینی در نظر گرفته می‌شود، از طرف دیگر، یک سیستم سازه‌یی با نامعینی بسیار بالا و یا یک سیستم سازه‌یی با مقاومت اعضاء ناویسته است. رابطهٔ اخیر نشان می‌دهد که سیستم‌های با مقاومت اعضاء ناویسته مقاومت افزون ناشی از نامعینی را در اثر تأثیر احتمالاتی نیز افزایش می‌دهند.^[۱۰]

Ω_{pro} می‌تواند با استفاده از یک تحلیل استاتیکی یا دینامیکی غیرخطی برای یک مقدار مشخص از ضریب همبستگی میانگین مقاومت اعضاء سازه بدست آید. رابطهٔ ۲۲ قابل استفاده در سیستم‌های قاب صفحه‌یی است. به عبارت دیگر، رابطه‌یی مذکور برای سیستم‌های قاب خمیشی مقاوم دو بعدی، که ستون‌ها در یک خط قرار دارند، توسعه داده شده است. در سازه‌های واقعی سه‌بعدی، که قاب صفحه‌یی از تعدادی قاب صفحه‌یی دو بعدی هستند، باید آثار تعداد سیستم‌های مقاوم دو بعدی در سازه‌یی سه‌بعدی و همبستگی مقاومت آنها در شاخص Ω_{pro} لحاظ شود. جهت فرمول بندی Ω_{pro} برای سیستم‌های سه‌بعدی فرض می‌شود که سازه‌یی سه‌بعدی از m قاب دو بعدی تشکیل شده و سیستم قاب سه‌بعدی بعد از شکست -1 قاب شکست خورده است؛ یعنی هنگامی که سیستم کاملاً مقاومت پیچشی خود را از دست داده و ناپایدار شده است. این سیستم در این حالت می‌تواند از طریق سیستم دانیل^۸ مدل شود.^[۱۱] بیان ریاضی ضریب تغییرات مقاومت (COV) در چنین سیستمی در پژوهشی در سال ۱۹۸۲ به صورت رابطهٔ ۲۳ بیان شده است:

$$v_s = v_f \sqrt{\frac{1 + (m - 2)\bar{\rho}_f}{m - 1}} \quad (23)$$

که در آن، v_s ضریب تغییرات مقاومت اعضاء سازه‌یی سه‌بعدی، v_f ضریب تغییرات مقاومت قاب صفحه‌یی، $\bar{\rho}_f$ میانگین ضریب همبستگی مقاومت بین قاب‌های صفحه‌یی است. شاخص مقاومت افزون احتمالاتی در سیستم‌های سه‌بعدی به صورت نسبتی از v_s و v_f بیان می‌شود (رابطهٔ ۲۴):

$$\Omega_{pro} = \frac{v_s}{v_e} = \frac{v_s}{v_f} \times \frac{v_f}{v_e} \quad (24)$$

که در آن، v_e ضریب تغییرات مقاومت اعضاء تشکیل دهندهٔ سازه‌یی سه‌بعدی است. با توجه به روابط ۲۳ و ۲۴، شاخص مقاومت افزون احتمالاتی به صورت رابطهٔ ۲۵ نتیجه می‌شود:

$$\Omega_{pro} = \frac{v_s}{v_e} = \sqrt{\frac{1 + (n - 1)\bar{\rho}}{n} \times \frac{1 + (m - 2)\bar{\rho}_f}{m - 1}} \quad (25)$$

که در آن، n تعداد مفاسل خمیری در حالت نهایی در یک قاب صفحه‌یی، و m تعداد قاب‌های صفحه‌یی که قاب سه‌بعدی را تشکیل می‌دهند، هستند. در جدول ۱، مقادیر شاخص Ω_{pro} نسبت به مقادیر مختلف تعداد مفاسل خمیری و ضرایب همبستگی میانگین ارائه شده است. همچنین در شکل‌های ۴ و ۵ چگونگی تغییر Ω_{pro} نسبت به تعداد مفاسل خمیری به ازاء ضریب‌های همبستگی ثابت را در دو حالت: (الف) تعداد مفاسل خمیری کم؛ (ب) تعداد مفاسل خمیری زیاد، نشان داده شده است. تغییرات Ω_{pro} در سیستم‌هایی که با تعداد مفاسل خمیری بیشتری به حالت شکست می‌رسند، در مقایسه

جدول ۱. مقادیر Ω_{pro} نسبت به مقادیر مختلف تعداد مفاصل خمیری و ضرایب همبستگی میانگین و تعداد قاب‌های لرزه‌بر.

Ω_{pro}									
$m = 7$	$\rho = 0,8$	$m = 4$	$\rho = 0,8$	$m = 7$	$\rho = 0$	$m = 4$	$\rho = 0$	n	
۰,۸۳۳۳		۰,۸۶۷		۰,۴۰۸۲		۰,۵۷۷۴		۱	
۰,۷۵		۰,۷۸		۰,۰۹۱۳		۰,۱۲۹۱		۲۰	
۰,۷۴۷۷		۰,۷۷۷۶		۰,۰۶۴۵		۰,۰۹۱۳		۴۰	
۰,۷۴۶۹		۰,۷۷۶۹		۰,۰۵۲۷		۰,۰۷۴۵		۶۰	
۰,۷۴۶۵		۰,۷۷۶۴		۰,۰۴۵۶		۰,۰۶۴۵		۸۰	
۰,۷۴۶۳		۰,۷۷۶۱		۰,۰۴۰۸		۰,۰۵۷۷		۱۰۰	
۰,۷۴۵۸		۰,۷۷۵۶		۰,۰۲۸۹		۰,۰۴۰۸		۲۰۰	
۰,۷۴۵۶		۰,۷۷۵۴		۰,۰۲۰۴		۰,۰۲۸۹		۴۰۰	
۰,۷۴۵۵		۰,۷۷۵۳		۰,۰۱۶۷		۰,۰۲۳۶		۶۰۰	
۰,۷۴۵۴		۰,۷۷۵۲		۰,۰۱۴۴		۰,۰۲۰۴		۸۰۰	

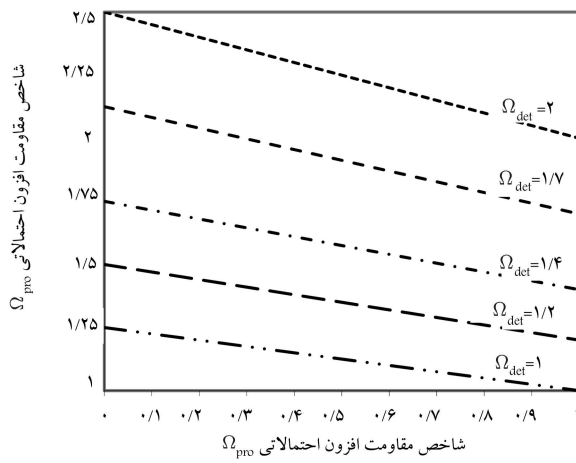
سری مدل شود که شکست یک عضو موجب شکست کلی سیستم و ضریب اطمینان سیستم معادل ضریب اطمینان عضو خواهد شد. بنابراین برای یک سیستم بدون نامعینی ($v_{non,redu} = v_e$)، $n = 1$ خواهد شد و در نتیجه رابطه‌ی ۲۳ به دست خواهد آمد:

$$\Omega_{redu} = \Omega_{det} \left(\frac{1 - k\Omega_{pro}v_e}{1 - kv_e} \right) \quad (33)$$

برای مقاومت با توزیع نرمال که احتمال وقوع آن بین ۰٪ تا ۹۵٪ باشد، ضریب k بین ۰,۱۵ تا ۰,۲۵ تغییر می‌کند و مقدار ضریب تغییرات مقاومت عضو v_e در دامنه‌ی ۰,۱۰۰۰ تا ۰,۱۴۰۰ تغییر خواهد کرد. بنابراین مقدار kv_e مساوی ۰,۲ با دقت قابل قبول در محاسبه‌ی تأثیر Ω_{det} و Ω_{pro} در Ω_{redu} می‌تواند استفاده شود. با توجه به رابطه‌ی ۳۳ و مقدار در نظر گرفته شده برای kv_e ، عبارت Ω_{redu} به صورت رابطه‌ی ۲۴ بازنویسی خواهد شد:

$$\Omega_{redu} = 1,25\Omega_{det}(1 - 0,2\Omega_{pro}) \quad (34)$$

شکل ۶، چگونگی تغییرات Ω_{redu} نسبت به تغییرات Ω_{det} و Ω_{pro} را نشان می‌دهد. با توجه به رابطه‌ی ۳۴ و شکل ۶، در صورتی که سیستم کاملاً نامعین باشد ($\Omega_{pro} = 0$) و با احتمال وقوع فرض شده، $\Omega_{redu} = 1,25\Omega_{det}$ باشد و این

شکل ۶. تغییرات Ω_{redu} نسبت به شاخص‌های Ω_{det} و Ω_{pro} .

رابطه‌ی ۲۶ به دست می‌آید: [۱۵و۱۱]

$$\Omega_{redu} = \frac{c_y}{c_{non,redun}} \quad (26)$$

که در آن، c_y ضریب برش پایه‌ی نهایی سیستم نامعین و $c_{non,redun}$ ضریب برش پایه‌ی سیستم بدون نامعینی است. با فرض اینکه ضرایب برش پایه‌ی یک سازه، توزیع نرمال دارد؛ ضرایب برش پایه‌ی می‌توانند تابعی از مقدار میانگین و انحراف استاندارد آن بیان شوند. بنابراین پارامترهای c_y و $c_{non,redun}$ می‌توانند به صورت روابط ۲۷ و ۲۸ بازنویسی شوند:

$$c_y = \bar{c}_y - k\sigma_f \quad (27)$$

$$c_{non,redun} = \bar{c}_{non,redun} - k\sigma_{non,redun} \quad (28)$$

که در آن‌ها، \bar{c}_y میانگین ضریب برش پایه‌ی نهایی قاب نامعین، $\bar{c}_{non,redun}$ میانگین برش پایه‌ی نهایی قاب بدون نامعین، σ_f انحراف استاندارد ضریب برش پایه‌ی قاب نامعین، و $\sigma_{non,redun}$ انحراف استاندارد ضریب برش پایه‌ی قاب بدون نامعین است. از رابطه‌های ۱۹ و ۲۰ می‌توان برای محاسبه‌ی σ_f استفاده کرد، به طوری که رابطه‌های ۲۹ و ۳۰ به دست می‌آیند:

$$\Omega_{pro} = \frac{\sigma_f}{v_e} \times \frac{1}{\Omega_{det}\bar{c}_{non,redun}} \quad (29)$$

$$\sigma_f = \Omega_{pro}\Omega_{det}v_e\bar{c}_{non,redun} \quad (30)$$

با جایگذاری رابطه‌ی ۳۰ در رابطه‌ی c_y (رابطه‌ی ۲۷)، روابط ۳۱ حاصل می‌شوند:

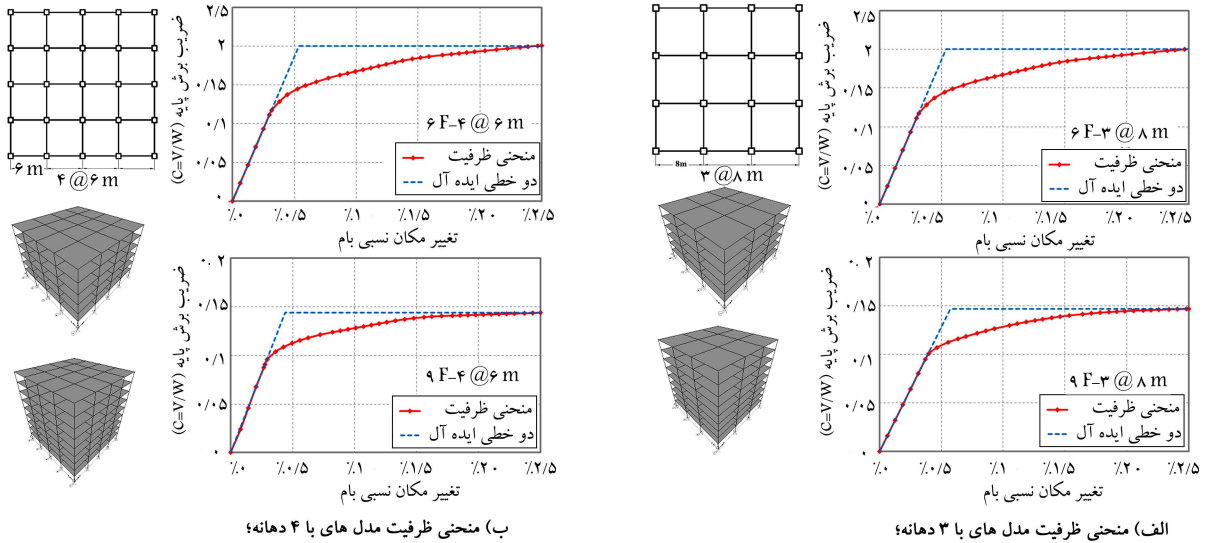
$$c_y = \Omega_{det}\bar{c}_{non,redun} - k\Omega_{pro}\Omega_{det}v_e\bar{c}_{non,redun} \quad (31)$$

$$c_y = \Omega_{det}(1 - k\Omega_{pro}v_e)\bar{c}_{non,redun} \quad (31)$$

و در نهایت با جایگذاری روابط ذکر شده در رابطه‌ی ۲۶، رابطه‌ی ۳۲ برای Ω_{redu} به دست می‌آید:

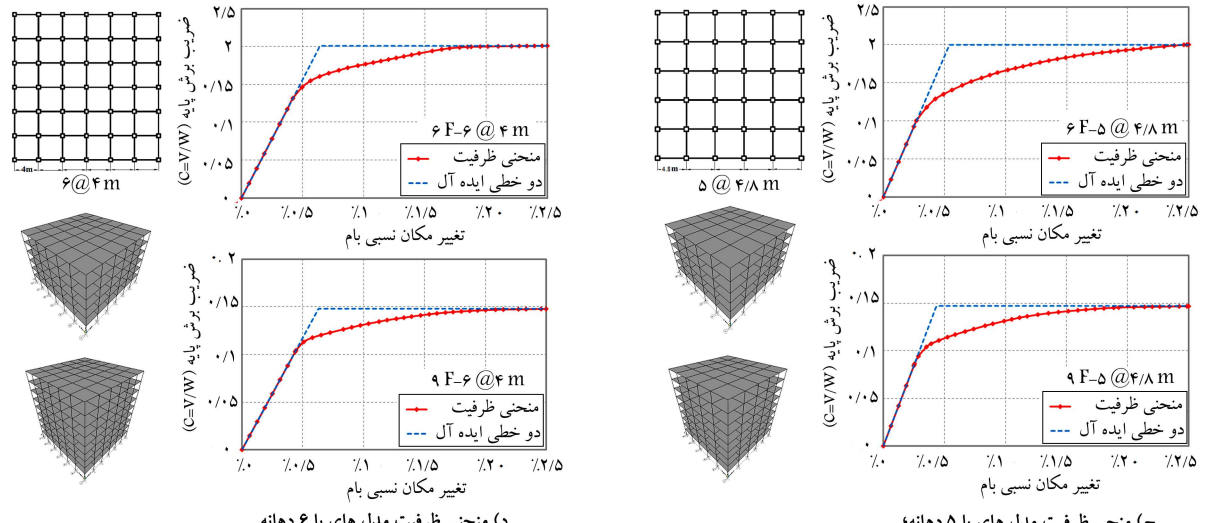
$$\Omega_{redu} = \Omega_{det} \left(\frac{1 - k\Omega_{pro}v_e}{1 - kv_{non,redun}} \right) \quad (32)$$

به طوری که، $v_{non,redun} = \sigma_{non,redun}/\bar{c}_{non,redun}$ ضریب تغییرات مقاومت قاب بدون نامعین است. یک سازه‌ی قابی بدون نامعین باید همانند سیستم‌های



ب) منحنی ظرفیت مدل های با ۴ دهانه؛

الف) منحنی ظرفیت مدل های با ۳ دهانه؛



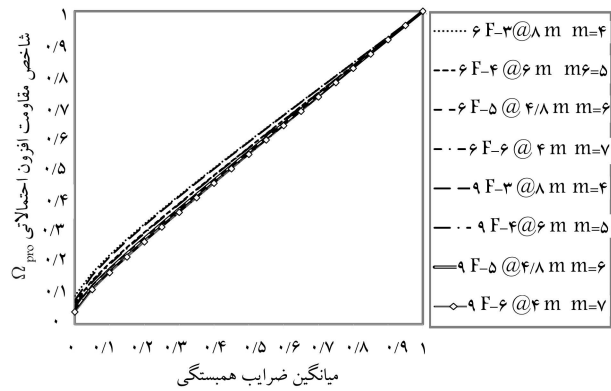
ج) منحنی ظرفیت مدل های با ۵ دهانه؛

د) منحنی ظرفیت مدل های با 6 دهانه.

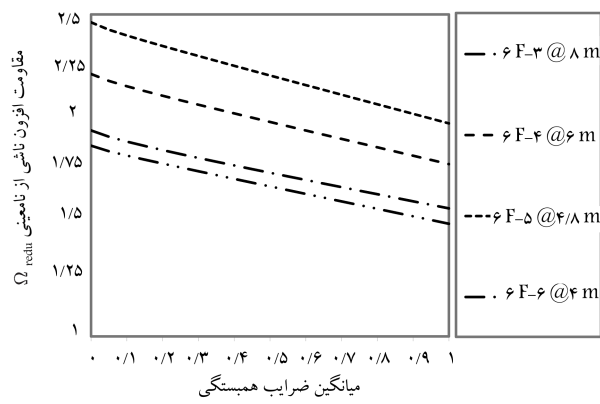
شکل ۸. مدل های مطالعاتی، منحنی ظرفیت و فرم دو خطی ارتگاعی - خسیری کامل منحنی ظرفیت.

جدول ۲. نتایج تحلیل استاتیکی غیرخطی و محاسبه‌ی پارامترهای ضریب رفتار.

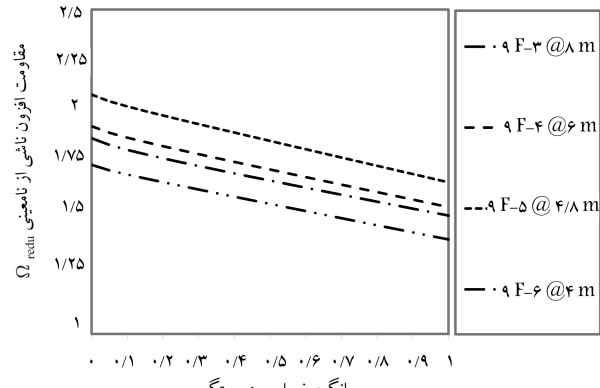
R	R_w	R_μ	μ	R_s	Ω_s (size, θ)	Ω_s (redu,sth)	Δ_y	Δ_s	C_y	C_s	C_w	T	شناسه‌ی سازه‌ها
۸/۶۷	۱۴/۲۷	۵/۴۲	۴/۴	۲/۶۳۲	۱/۶۴۸	۱/۰۹۷	۰/۰۰۵۷	۰/۰۰۳۵	۰/۲۰۱۳	۰/۱۲۶۱	۰/۰۷۵۶	۱/۱۳	۶F-۳@8m
۱۰/۳۳	۱۵/۰۴	۵/۷۳	۴/۶	۲/۶۲۵	۱/۴۵۶	۱/۸۰۳	۰/۰۰۵۴	۰/۰۰۳	۰/۲۰۰۳	۰/۱۱۱۱	۰/۰۷۵۶	۱/۰۹	۶F-۴@8m
۱۱/۴۱	۱۵/۰۱	۵/۷۳	۴/۶	۲/۶۲۰	۱/۳۱۵	۱/۹۹۲	۰/۰۰۵۴	۰/۰۰۲۷	۰/۲۰۰۴	۰/۱۰۰۶	۰/۰۷۵۶	۱/۰۷	۶F-۵@4/8m
۷/۱۷	۱۲/۳۴	۴/۷	۳/۸	۲/۶۲۵	۱/۷۲۲	۱/۰۵۲	۰/۰۰۶۵	۰/۰۰۴۲	۰/۲۰۰۸	۰/۱۳۱۷	۰/۰۷۵۶	۱/۲	۶F-۶@4m
۷/۴۶	۱۱/۳۷	۴/۸۲	۴/۳	۲/۳۵۸	۱/۵۲۴	۱/۰۵۴۸	۰/۰۰۵۸	۰/۰۰۳۷	۰/۱۴۷۲	۰/۰۹۵۱	۰/۰۶۲۴	۱/۶۱	۹F-۳@8m
۱۰/۵۰	۱۵/۶۱	۶/۶۲	۵/۷	۲/۳۵۸	۱/۴۸۶	۱/۰۵۸۷	۰/۰۰۴۴	۰/۰۰۲۸	۰/۱۴۳۸	۰/۰۹۰۶	۰/۰۶۲۴	۱/۳۸	۹F-۴@6m
۱۱/۲۳	۱۵/۵۵	۶/۶	۵/۷	۲/۳۵۶	۱/۳۸۵	۱/۷۰۱	۰/۰۰۴۴	۰/۰۰۲۶	۰/۱۴۷۰	۰/۰۸۶۴	۰/۰۶۲۴	۱/۳۹	۹F-۵@4/8m
۶/۳۱	۱۰/۳۶	۴/۳۹	۴/۰	۲/۳۵۹	۱/۶۴۱	۱/۰۴۳۷	۰/۰۰۶۳	۰/۰۰۴۴	۰/۱۴۷۹	۰/۱۰۳۰	۰/۰۶۲۴	۱/۶۸	۹F-۶@4m



شکل ۹. تغییرات شاخص مقاومت افزون احتمالاتی نسبت به تغییرات تعداد مفاصل خمیری و میانگین ضریب همبستگی.



شکل ۱۰. تغییرات مقاومت افزون ناشی از نامعینی Ω_{redu} نسبت به تغییرات میانگین ضریب همبستگی در سازه‌های ۶ طبقه.



شکل ۱۱. تغییرات مقاومت افزون ناشی از نامعینی Ω_{redu} نسبت به تغییرات میانگین ضریب همبستگی در سازه‌های ۹ طبقه.

ملحوظه می‌شود که افزایش نامعینی تا ۵ دهانه در هر راستا توائسته است تا میزان افزایش Ω_{redu} را افزایش دهد، اما افزایش مجدد نامعینی تا ۶ دهانه در هر طرف موجب کاهش Ω_{redu} شده است. این پدیده می‌تواند ناشی از عدم رعایت یکسان ضابطه‌ی ستون قوی - تیر ضعیف در مدل‌های مطالعه و کاهش شکل‌پذیری محلی تیرهای مدل‌های مورد مطالعه با ۶ دهانه در هر طرف باشد. شکل ۱۲، چگونگی تغییر ضریب کاهش در اثر مقاومت افزون (R_s) را در مدل‌های سه‌بعدی این پژوهش و با فرض تساوی $\bar{\rho}$ و $\bar{\rho}_f$ نشان می‌دهد.

مقاومت افزون بدون درنظرگرفتن تأثیرات احتمالاتی نامعینی در سازه‌های مطالعاتی ۶ و ۹ طبقه برابر است. همچنین افزایش نامعینی تا میزان مشخصی (۵ دهانه در هر راستا) باعث افزایش شکل‌پذیری کلی و در نهایت افزایش ظرفیت غیراتجاعی سازه‌ها شده است؛ اما افزایش بیشتر نامعینی از آن حد مشخص به دلیل اینکه شکل‌پذیری محلی اعضا را کاهش داده است، تأثیر منفی در شکل‌پذیری کلی داشته و سبب کاهش ضریب رفتار شده است. به عنوان نتیجه‌ی دیگر می‌توان ملاحظه کرد که در سازه‌هایی با ضریب برش پایه‌ی نهایی یکسان (مقاومت نهایی یکسان)، هر چه تراز نیرویی که در آن اولین مفصل خمیری تشکیل می‌شود (c_s)، کمتر باشد، سازه ضریب شکل‌پذیری کلی (μ) و ضریب مقاومت افزون ناشی از نامعینی ($\Omega_{redu,sth}$) بزرگ‌تری خواهد داشت.

۶. تأثیرات تعیینی و احتمالاتی نامعینی در مقاومت افزون و ضریب رفتار

ضریب مقاومت افزون ناشی از نامعینی ($\Omega_{s(redu,sth)}$) گزارش شده در جدول ۱، معادل شاخص مقاومت افزون تعیینی (Ω_{det}) در بخش ۱.۳ است. در صورتی که فرض شود، ضریب همبستگی میانگین مقاومت اعضاء سازه و ضریب همبستگی میانگین مقاومت قاب‌های دو بعدی برابر صفر است، می‌توان نتیجه‌گرفت مقادیر Ω_{redu} نیز با مقادیر $\Omega_{s(redu,sth)}$ در جدول ۱ برابر خواهد شد. حال اثرات احتمالاتی نامعینی در مدل‌های مورد مطالعه بررسی شده است. شاخص Ω_{pro} در قاب‌های سه‌بعدی تابعی از ۴ متغیر، تعداد مفاصل خمیری در حالت نهایی یک قاب دو بعدی (n)، تعداد قاب‌های دو بعدی تشکیل دهنده‌ی قاب سه‌بعدی (m)، میانگین ضریب همبستگی مقاومت اعضاء سازه ($\bar{\rho}$) است. دامنه‌ی تغییرات این شاخص با تغییر دو ضریب مقاومت اعضاء سازه ($\bar{\rho}$)، میانگین ضریب همبستگی ($\bar{\rho}_f$) و میانگین ضریب همبستگی میانگین $\bar{\rho}$ و $\bar{\rho}_f$ نسبت به تغییر تعداد مفاصل خمیری حد نهایی در مقیاس مدل‌های مطالعاتی این پژوهش بسیار وسیع‌تر است. با فرض یکسان بودن ضریب همبستگی مقاومت اعضاء سازه‌های مورد مطالعه (فرض غیرواقعی)، افزایش تعداد مفاصل خمیری سبب کاهش سیار اندکی در شاخص Ω_{pro} می‌شود. شکل ۹، تغییرات شاخص مقاومت افزون احتمالاتی در مدل‌های سه‌بعدی این پژوهش را با فرض تساوی $\bar{\rho}$ و $\bar{\rho}_f$ نشان می‌دهد.

همان‌طور که ملاحظه می‌شود، اختلاف Ω_{pro} در ۸ مدل مورد مطالعه با فرض تساوی $\bar{\rho}$ و $\bar{\rho}_f$ و به ازاء یک مقدار ثابت از آن‌ها بسیار ناجیز و قابل صرف نظر کردن است.

انتظار منطقی این است که پارامترهای $\bar{\rho}$ و $\bar{\rho}_f$ در سازه‌های با سیستم قاب خمیشی با نامعینی بیشتر که به طور صحیح طرح شده‌اند (با رعایت دقیق ضابطه‌ی ستون قوی تیر ضعیف)، مقدار کمتری نسبت به سازه‌های قاب خمیشی با نامعینی کمتر داشته باشند ($\bar{\rho}_{more,redundant} \leq \bar{\rho}_{less,redundant}$). بنابراین نتیجه‌ی منطقی این است که افزایش نامعینی سبب کاهش شاخص Ω_{pro} و در نهایت افزایش Ω_{redu} خواهد شد. شکل‌های ۱۰ و ۱۱، چگونگی تغییر مقاومت افزون ناشی از نامعینی (Ω_{redu}) را در مدل‌های ۶ و ۹ طبقه و با فرض تساوی $\bar{\rho}$ و $\bar{\rho}_f$ نشان می‌دهند.

مقادیر این نمودار به ازاء $\bar{\rho} = \bar{\rho}_f$ همان مقادیر $\Omega_{s(redu,sth)}$ در جدول ۱ را تیجه می‌دهد. همان‌طور که ملاحظه می‌شود، افزایش نامعینی در هر صورت به جهت کاهش میانگین ضریب همبستگی موجب افزایش Ω_{redu} می‌شود. همچنین

با نامعینی کمتر داشته باشند؛ بنابراین نتیجه‌ی منطقی این است که افزایش نامعینی به لحاظ تأثیرات احتمالاتی سبب بیشتر شدن ضریب مقاومت افزون کلی در مدل‌های با نامعینی بیشتر شود.

شکل‌های ۱۳ و ۱۴، چگونگی تغییر ضریب رفتار سازه‌ها با رویکرد تنش مجاز (R_w)، را در مدل‌های ۶ و ۹ طبقه‌ی این پژوهش با فرض تساوی $\bar{\rho}$ و $\bar{\rho}_f$ نشان می‌دهند.

مقادیر این نمودار به ازاء $\bar{\rho} = \bar{\rho}_f$ همان نتایج R_w در جدول ۱ را نتیجه می‌دهد. ملاحظه می‌شود که افزایش نامعینی به صورت افزایش تعداد قاب‌های لرزه‌بر به جهت اینکه با کاهش میانگین ضریب همبستگی مقاومت اعضاء قاب همراه است، می‌تواند موجب افزایش ضریب رفتار شود؛ اما این افزایش در مقدار ضریب رفتار به اندازه‌ی نیست که تأثیر منفی افزایش بیش از حد نامعینی در شکل‌پذیری را پوشش دهد. بنابراین توجه به چگونگی تغییرات شکل‌پذیری سازه‌ها با افزایش نامعینی آن‌ها اهمیت بیشی دارد، که می‌تواند اثرات مثبت افزایش نامعینی را تحت الشعاع قرار دهد.

۷. نتیجه‌گیری

در این پژوهش با طرح سازه‌هایی با مقاومت و ضریب برش پایه‌ی نهایی یکسان و با مطالعه‌ی تأثیرات تعیینی و احتمالاتی نامعینی در مقاومت افزون و ضریب رفتار، می‌توان این موارد را بیان کرد:

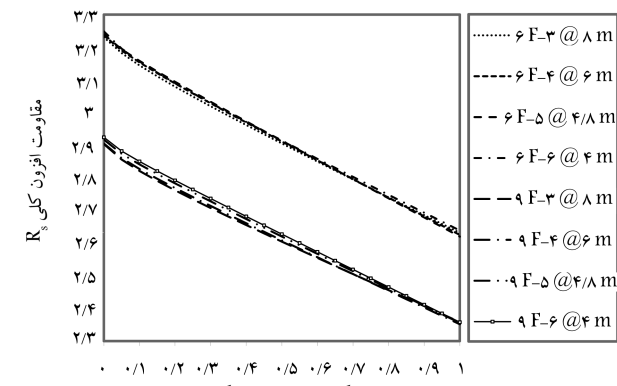
۱. افزایش نامعینی قاب‌های خمی (منظمه در پلان و ارتفاع)، در یک پلان مشخص (مساحت طبقه‌ی یکسان) همواره موجب کاهش مقدار شاخص مقاومت افزون احتمالاتی (Ω_{pro}) و افزایش ضریب مقاومت افزون ناشی از نامعینی (Ω_{redu}) می‌شود.

۲. افزایش نامعینی در یک پلان ثابت و مشخص به صورت افزایش تعداد قاب‌های مقاوم لرزه‌بر تا میزان مشخصی (۵ دهانه در هر راستا) سبب افزایش شکل‌پذیری کلی سازه شده است؛ اما افزایش بیشتر نامعینی از آن حد مشخص تأثیر منفی در شکل‌پذیری داشته است.

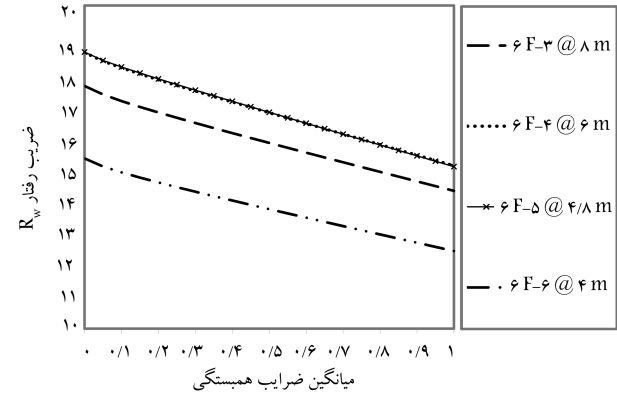
۳. افزایش نامعینی سازه‌ها به صورت افزایش تعداد قاب‌های لرزه‌بر در سازه‌های قاب خمی منظم با مساحت یکسان طبقه همواره مقاومت افزون را به جهت تأثیرات احتمالاتی نامعینی افزایش می‌دهد، اما این افزایش در مقاومت افزون لزوماً به معنای افزایش ضریب رفتار نیست؛ چراکه افزایش بیش از حد نامعینی می‌تواند موجب کاهش شکل‌پذیری محلی اعضا شود و درنهایت، کاهش شکل‌پذیری کلی سازه را سبب شود.

۴. در طرح سازه‌هایی با مقاومت و ضریب برش پایه‌ی نهایی یکسان، هر چه تراز نیرویی که در آن اولین مفصل خمیری (c_s) تشکیل می‌شود کمتر باشد، سازه ضریب شکل‌پذیری (μ) و ضریب مقاومت افزون ناشی از نامعینی ($\Omega_{s(redusth)}$) بالاتری خواهد داشت.

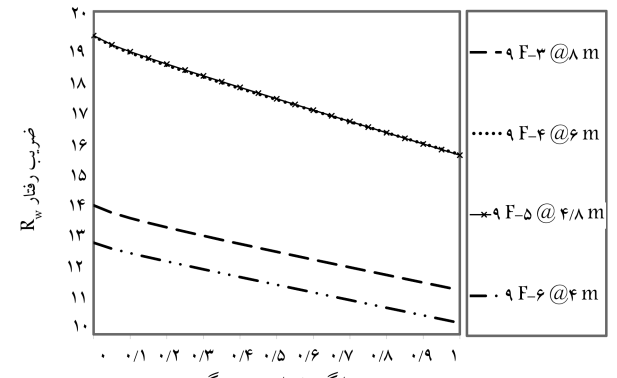
۵. اگر نامعینی بیشتر در سازه‌هایی با مساحت طبقه‌ی یکسان موجب کاهش تراز نیروی تشکیل اولین مفصل خمیری (c_s) شود، آنگاه افزایش نامعینی پدیده‌ی مطلوب خواهد بود، که موجب افزایش ضریب رفتار و بهبود رفتار سازه‌ها خواهد شد. این موضوع وابستگی شدیدی به چگونگی رعایت ضابطه‌ی ستون قوی - تیر ضعیف خواهد داشت.



شکل ۱۲. تغییرات ضریب مقاومت افزون کلی سازه‌ها (R_s) نسبت تغییرات میانگین ضریب همبستگی.



شکل ۱۳. تغییرات ضریب رفتار سازه‌ها (R_w) نسبت به تغییرات میانگین ضریب همبستگی در سازه‌های ۶ طبقه.



شکل ۱۴. تغییرات ضریب رفتار سازه‌ها (R_w) نسبت به تغییرات میانگین ضریب همبستگی در سازه‌های ۹ طبقه.

مقادیر این نمودار به ازاء $\bar{\rho} = \bar{\rho}_f$ همان مقادیر R_s در جدول ۱ را نتیجه می‌دهد. همان‌طور که مشاهده می‌شود، مقادیر ضریب مقاومت افزون کلی به ازاء یک ضریب همبستگی خاص در تمامی مدل‌های ۶ و ۹ طبقه به صورت جداگانه و با تقریب قابل قبولی برابر است. از آنجا که انتظار منطقی این است که پارامترهای $\bar{\rho}$ و $\bar{\rho}_f$ در سازه‌های قاب خمی با نامعینی بیشتر که به طور صحیح طرح شده‌اند (به ویژه رعایت دقیق ضابطه ستون قوی تیر ضعیف)، مقدار کمتری نسبت به سازه‌های

پابنوهات

1. deterministic-overstrength index
2. probabilistic-overstrength index
3. sway
4. monotonic
5. standard deviation
6. correlation coefficient
7. coefficient of variation
8. Daniel's system

منابع (References)

1. Marhadi, K. and Venkataraman, S. "Surrogate measures to optimize structures for robust and predictable progressive failure", *Structural and Multidisciplinary Optimization*, **39**, pp. 245-261 (2009).
2. Biondini, F., Frangopol, D.M. and Restelli, S. "On structural robustness, redundancy and static indeterminacy", *Proceedings of the 2008 ASCE-SEI Structures Congress*, Vancouver, pp. 1-10 (2008).
3. Hendavi, S. and Frangopol, D.M. "System reliability and redundancy in structural design and evaluation", *Journal of Structural Safety*, **16**(1-2), pp. 47-71 (1994).
4. Bertero, R.D. and Bertero, V.V. "Redundancy in earthquake-resistant design", *Journal of Structural Engineering, ASCE*, **125**(1), pp. 81-88 (1999).
5. Moses, F. "Reliability of structural systems", *Journal of Structural Division, ASCE*, **100**(ST9), pp. 1813-1820 (1974).
6. ATC, *Structural Response Modification Factors*, ATC-19 Report, Applied Technology Council, Redwood City, California (1995).
7. ATC, *A Critical Review of Current Approaches to Earthquake-Resistant Design*, ATC-34 Report, Applied Technology Council, Redwood City, California (1995).
8. Wen, Y.K. and Song, S.H. "Structural reliability/redundancy under earthquakes", *Journal of Structural Engineering, ASCE*, **12**(1), pp. 56-66 (2003).
9. IBC 2000, *International Building Code*, Inter. Code Council, Falls Church, VA, Final Draft (July 1998).
10. Husain, M. and Tsopelas, P. "Measures of structural redundancy in reinforced concrete buildings. I: Redundancy indices", *Journal of Structural Engineering, ASCE*, **130**(11), pp. 1651-1658 (2004).
11. Husain, M. and Tsopelas, P. "Measures of structural redundancy in reinforced concrete buildings. II: Redundancy response modification factor RR", *Journal of Structural Engineering, ASCE*, **130**(11), pp. 1659-1666 (2004).
12. Okasha, N.M. and Frangopol, D.M. "Time-variant redundancy of structural systems", *Journal of Structure and Infrastructure Engineering, Taylor & Francis*, **6**(1-2), pp.279-301 (2010).
13. Yoshihiro, K. and Yakov, B.H. "Redundancy and robustness, or when Is redundancy redundant?", *Journal of Structural Engineering, ASCE*, **137**(9), pp.935-945 (2011).
14. Massumi, A. and Tasnimi, A.A., *Estimation of Response Modification Factors for RC Moment Resisting Frames*, Building and Housing Research Center (BHRC), Publication No. R-436, Tehran, Iran (2006).
15. Fallah, A.A., Sarvghad-Moghadam, A. and Massumi, A. "A nonlinear dynamic based redundancy index for reinforced concrete frames", *Journal of Applied Science*, **9**(6), pp. 1065-1073 (2009).
16. Massumi, A., Tasnimi, A.A. and Saatcioglu, M. "Prediction of seismic over-strength of concrete moment resisting frames using incremental static and dynamic analyses", *Proceedings of 13th World Conference on Earthquake Engineering*, Vancouver, BC, Canada, CD (2004).
17. Mirenda, E. and Bertero, V.V. "Evaluation of strength reduction factors for earthquake-resistant design", *Earthquake Spectra*, **10**(2), pp. 357-379 (1994).
18. BHRC, *Iranian Code of Practice for Seismic Resistant Design of Buildings*, Standard No.2800-05. 3rd ed., Building and Housing Research Center, Tehran (2005).
19. BHRC, *Iranian Code of Practice for Seismic Resistant Design of Buildings*, Standard No.2800-05. 2nd ed., Building and Housing Research Center, Tehran (2000).
20. INBC (Iranian National Building Code), *Design Loads for Buildings*, Part 6, INBC, National Building Regulations Office, Tehran, Iran (2010).
21. FEMA356, *Prestandard and commentary for Seismic Rehabilitation of Buildings*, Federal Emergency Management Agency (2000).
22. SAP2000 Version 14.2.0: A Computer Program for Integrated Finite Element Analysis and Design of Structures, University of California, Berkeley (2010).
23. Park, R. "Evaluation of ductility of structures and structural assemblages from laboratory testing", *Bulletin of New Zealand National Society for Earthquake Engineering*, **22**(3), pp. 155-166 (1989).